

# ANÁLISE ISOENZIMÁTICA DE DOIS HÍBRIDOS PUTATIVOS NATURAIS DE ESPÉCIES SILVESTRES DO GÊNERO *MANIHOT* (EUPHORBIACEAE)<sup>1</sup>

CLAUDIO BRONDANI<sup>2</sup>

**RESUMO** - Dois híbridos putativos naturais e seus prováveis parentais foram analisados via marcadores isoenzimáticos. Para *Manihot nana* e *M. nogueirae*, foram empregados os sistemas SKD, G6PDH, NADHDH, GOT, ACP, SOD, LAP, AK e NADPHDH. Para *M. hilarihana* e *M. salicifolia*, foram utilizados IDH, MDH, PGI, PGD e MR. A análise baseou-se na presença ou ausência de bandas, utilizando-se o índice de similaridade genética de Jaccard. Os resultados indicaram não se tratar de um híbrido entre *M. nana* e *M. nogueirae*, e que, provavelmente, para o caso de *M. hilarihana* e *M. salicifolia*, há ocorrência do híbrido. Eventos como este podem proporcionar novas combinações de alelos e ser precursor do processo de fixação de espécies do gênero *Manihot*.

**Termos para indexação:** variabilidade genética, isoenzimas, cruzamentos naturais.

## ISOZYMIC ANALYSIS OF TWO NATURAL PUTATIVE HYBRIDS IN TWO WILD SPECIES OF *MANIHOT* GENERA (EUPHORBIACEAE)

**ABSTRACT** - Two natural putative hybrids were analysed by isozymes. *Manihot nana* and *M. nogueirae* were tested with the SKD, G6PDH, NADHDH, GOT, ACP, SOD, LAP, AK and NADPHDH systems. *M. hilarihana* and *M. salicifolia*, with the IDH, MDH, PGI, PGD, and MR systems. The analysis were made with the Jaccard's similarity index, and the results indicated that there is no hybrid between *M. nana* and *M. nogueirae*, but probably there is a hybrid between *M. hilarihana* and *M. salicifolia*. Processes like this could give new allelic combinations, initiating one of the speciation processes in the *Manihot* genera.

**Index terms:** genetic variability, isozymes, natural crosses.

## INTRODUÇÃO

O gênero *Manihot* possui cerca de 98 espécies, sendo 80 nativas do Brasil. A origem do gênero é considerada recente, não havendo ainda rígida fixação de espécies. Isto tem possibilitado cruzamentos interespecíficos por melhoristas, que têm sido observados também na natureza. Acredita-se que a capacidade de ocupação de novos habitats esteja relacionada com a hibridização intensiva das plantas.

Segundo Thompson & Lumaret (1992), o aumento da heterozigose e a possível formação de novas combinações gênicas parecem ser o elemento-chave de sucesso dos novos citotipos poliplóides, com consequente aumento de sua capacidade de responder, individualmente, a diferentes condições ambientais. A combinação de genomas diferentes pode originar raças ecológicas, precursoras do processo de fixação de espécies (Allen & Goedert, 1991). Tais recursos genéticos podem efetivamente contribuir com novas combinações gênicas e alélicas, que podem ser identificadas e transferidas para a espécie cultivada no Brasil do gênero *Manihot*, a mandioca (*M. esculenta* Crantz). O propósito deste trabalho foi utilizar dados isoenzimáticos para confirmar a ocorrência de duas hibridizações naturais entre espécies silvestres do gênero *Manihot*.

<sup>1</sup> Aceito para publicação em 19 de março de 1996.

<sup>2</sup> Eng. Agr., M.Sc., EMBRAPA - Centro Nacional de Recursos Genéticos e Biotecnologia (CENARGEN), Caixa Postal 02372, CEP 70849-970 Brasília, DF.

**MATERIAL E MÉTODOS**

Três plantas de *M. nana*, quatro de *M. nogueirae* e o híbrido putativo foram coletados a 30 km de Brasília, DF, no vale do Rio São Bartolomeu ( $15^{\circ}57'S$ ,  $47^{\circ}38'W$ ). *M.*

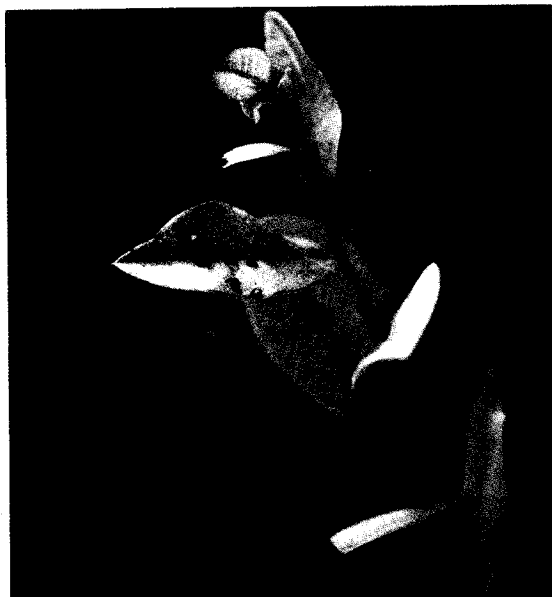
*hilariana*, *M. salicifolia* e o híbrido (três plantas de cada uma) foram coletados a 4 km da cidade de Corumbá de Goiás, GO ( $15^{\circ}55'S$ ,  $48^{\circ}48'W$ ). As Figs. 1 e 2 mostram exemplares das espécies coletadas. Além dessas espécies, também foi analisada uma planta de *M. hassleriana* e outra de

**A****B****C**

**FIG. 1. *Manihot nana* (a), *M. nogueirae* (b) e híbrido putativo (c) destas espécies.**

*M. esculenta*, como testemunhas. Os sistemas de colorações isoenzimáticas foram efetuados de acordo com os métodos descritos em Cheliak & Pitel (1984) e Santos (1991), e consistiram de: SKD, G6PDH, NADHDH, GOT, ACP, SOD, LAP, AK e NADPHDH para *M. nana* x *M.*

*nogueirae*, e IDH, MDH, PGI, PGD e MR para *M. hilarihana* e *M. salicifolia*. A análise, baseada na presença ou ausência de bandas, consistiu em utilização do índice de similaridade genética de Jaccard para obtenção da matriz de similaridade, construção do fenograma pelo método de



A



B



C

FIG. 2. *Manihot salicifolia* (a), *M. hilarihana* (b) e híbrido putativo (c) destas espécies.

UPGMA, e análise de coordenadas principais, sendo todos os procedimentos conduzidos pelo programa NTSYS-PC (Rohlf, 1988).

## RESULTADOS E DISCUSSÃO

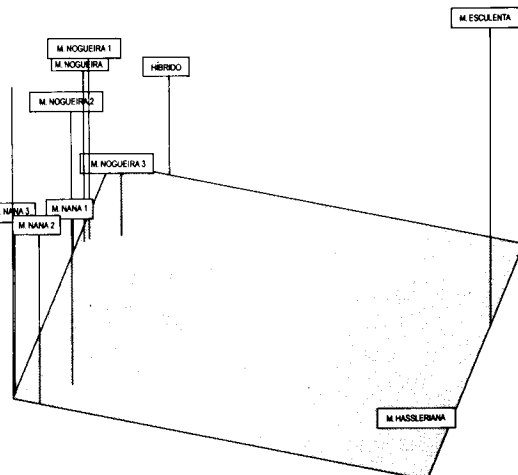
Os padrões isoenzimáticos para a maioria dos sistemas testados foram de múltiplas bandas, devido ao estado poliplóide das espécies analisadas. A Tabela 1 mostra o índice de similaridade genética de

**TABELA 1.** Valores do Índice de Similaridade de Jaccard para comparação entre e dentro das espécies testadas.

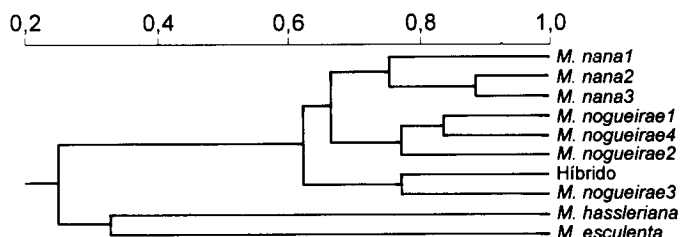
Comparação	Índice de similaridade	
	Média	Faixa
<b>1) <i>M. nana</i> x <i>M. nogueirae</i></b>		
Dentro		
<i>M. nana</i>	0,804	0,762 - 0,889
<i>M. nogueirae</i>	0,715	0,600 - 0,850
Híbrido	-	-
<i>M. hassleriana</i>	-	-
<i>M. esculenta</i>	-	-
Entre		
<i>M. nana</i> x		
<i>M. nogueirae</i>	0,654	0,545 - 0,714
Híbrido	0,542	0,522 - 0,583
<i>M. hassleriana</i>	0,296	0,259 - 0,321
<i>M. esculenta</i>	0,233	0,200 - 0,258
<i>M. Nogueirae</i> x		
Híbrido	0,730	0,667 - 0,778
<i>M. hassleriana</i>	0,261	0,241 - 0,292
<i>M. esculenta</i>	0,231	0,179 - 0,276
Híbrido x		
<i>M. hassleriana</i>	0,296	-
<i>M. esculenta</i>	0,276	-
<i>M. hassleriana</i> x		
<i>M. esculenta</i>	0,333	-
<b>2) <i>M. hilarihana</i> x <i>M. salicifolia</i></b>		
Dentro		
<i>M. hilarihana</i>	0,770	0,667 - 0,885
<i>M. salicifolia</i>	0,900	0,852 - 0,960
Híbrido	0,882	0,828 - 0,962
<i>M. esculenta</i>	-	-
Entre		
<i>M. hilarihana</i> x		
<i>M. salicifolia</i>	0,535	0,429 - 0,581
Híbrido	0,695	0,529 - 0,821
<i>M. esculenta</i>	0,560	0,474 - 0,571
<i>M. salicifolia</i> x		
Híbrido	0,721	0,677 - 0,815
<i>M. esculenta</i>	0,603	0,543 - 0,618
Híbrido x		
<i>M. esculenta</i>	0,647	0,618 - 0,676

Jaccard (IS), entre e dentro das espécies testadas. O IS dentro de *M. nana* difere significativamente a 1% do IS entre *M. nana* e o híbrido putativo *M. nogueirae* x *M. nana* (0,804 e 0,542, respectivamente). Por outro lado, o IS dentro de *M. nogueirae* não difere significativamente a 1% do IS entre *M. nogueirae* e o híbrido putativo (0,715 e 0,730, respectivamente). Portanto, de acordo com os padrões isoenzimáticos, o híbrido putativo possui um perfil similar ao de *M. nogueirae*. Isto pode ser visualizado nas Figs. 3 e 4, que indicam a localização do híbrido próximo ao grupo de *M. nogueirae*. Os três vetores da Análise de Coordenadas Principais (Fig. 3) explicaram 67,29% da variância, demonstrando que há confiabilidade na distribuição das espécies no plano do gráfico.

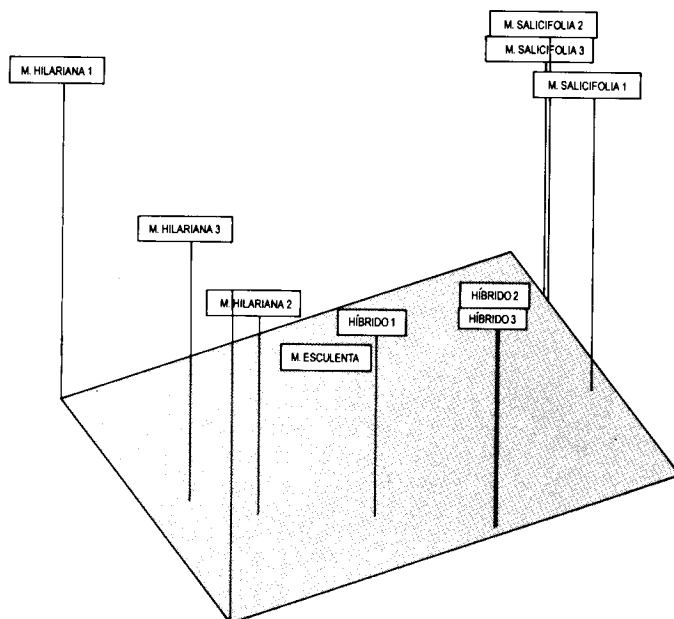
De acordo com a Tabela 1, o IS dentro de *M. hilarihana* não difere significativamente a 1% do IS entre *M. hilarihana* e o híbrido putativo *M. hilarihana* x *M. salicifolia* (0,770 e 0,695, respectivamente). Isto também é verdade na comparação do IS de *M. salicifolia* com o IS entre *M. salicifolia* e o híbrido putativo (0,900 e 0,720, respectivamente). Tais comparações mostram que o híbrido putativo possui similaridade genética com os dois parentais, indicando uma possível natureza híbrida dessa planta. Isto pode ser visualizado na Fig. 5, que



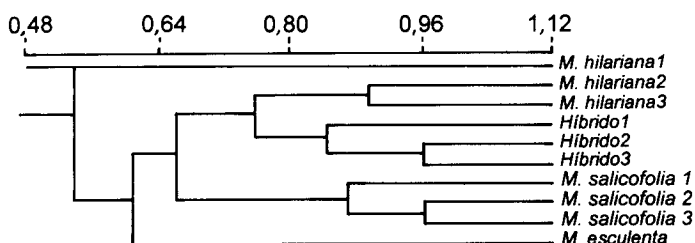
**FIG. 3.** Projeções da Análise de Coordenadas Principais entre *M. nana*, *M. nogueirae* e híbrido putativo.



**FIG. 4.** Fenograma (UPGMA) com *M. nana*, *M. nogueirae* e híbrido putativo baseado na matriz dos padrões de bandas presentes/ausentes utilizando o índice de similaridade de Jaccard.



**FIG. 5.** Projeções da Análise de Coordenadas Principais de *M. hilarihana*, *M. salicifolia* e híbrido putativo.



**FIG. 6.** Fenograma (UPGMA) com *M. salicifolia*, *M. hilarihana* e híbrido putativo baseado na matriz dos padrões de bandas presentes/ausentes utilizando o índice de similaridade de Jaccard.

mostra a Análise de Coordenadas Principais, na qual os híbridos putativos aparecem em uma posição intermediária entre os dois parentais (os três vetores explicaram 75,20% da variância). O fenograma da Fig. 6 corrobora esta análise.

## CONCLUSÕES

1. O híbrido putativo entre *M. nana* e *M. nogueirae* é um indivíduo desta última espécie.
2. O híbrido putativo entre *M. hilarihana* e *M. salicifolia* é um híbrido natural.

## REFERÊNCIAS

ALLEN, A.C.; GOEDERT, C.O. Formação de base genética e manejo dos recursos genéticos de mandioca: o caso do Brasil. In: HERSEY, C.H. (Ed.). Mejoramiento genético de la yuca en América Latina. Cali: CIAT, 1991. p.125-161.

CHELIAK, W.M.; PITEL, J.A. Techniques for starch gel electrophoresis of enzymes from forest tree species. Chalk River: PNFI, 1984. 49 p.

ROHLF, F.J. NTSYS-PC, numerical taxonomy and multivariate analysis system. New York: Exeter, 1988. 320p.

SANTOS, M.M. Polimorfismo isoenzimático de população subespontânea de dendê (*Elaeis guineensis* Jacq.) do estado da Bahia e sua relação genética com seis procedências africanas. Ribeirão Preto: USP, 1991. 105p. Tese de Doutorado.

THOMPSON, J.D.; LUMARET, R. The evolutionary dynamics of polyploid plants: origins, establishment and persistence. Tree, v.7, n.9, p.302-307, 1992.